

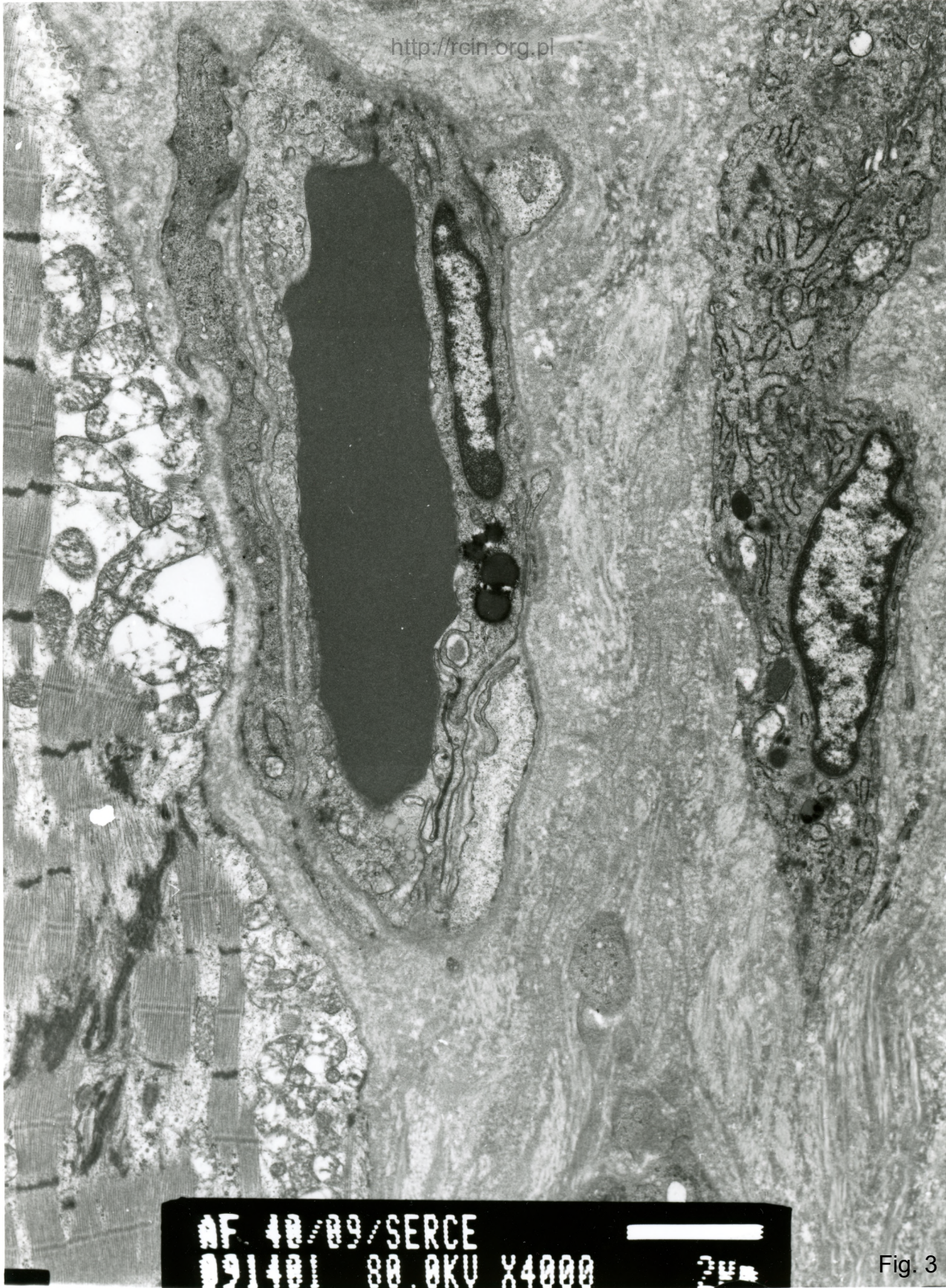
AF 40/09/SERCE  
091405 80.0KV X4000 2µm

Fig. 1



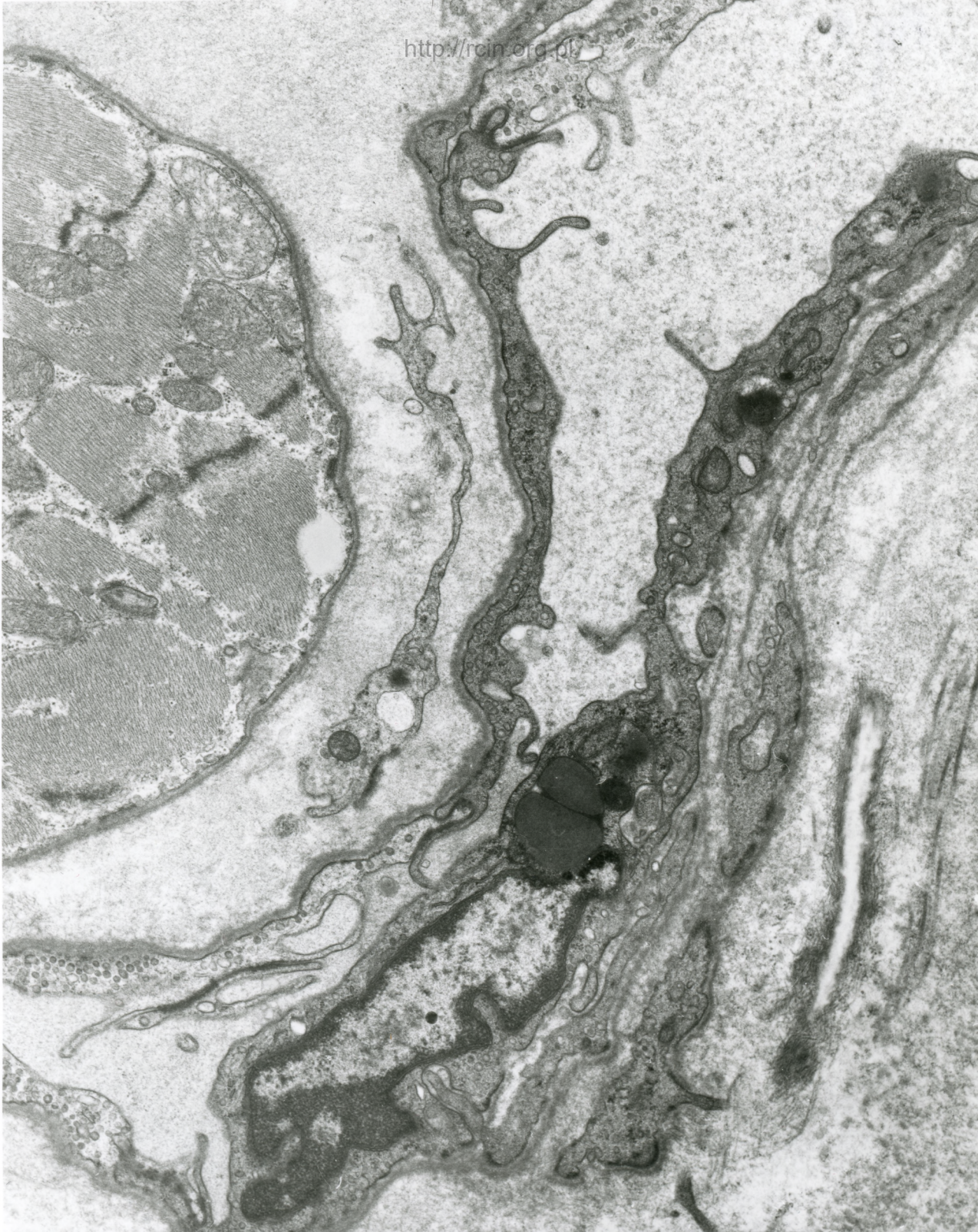
AF 40/09/SERCE  
091403 80.0KV X7500

Fig. 2



AF 40/09/SERCE  
021401 80.0KV X4000 2µm

Fig. 3



AF 40/09/SERCE  
091570 80.0KV X6000

Fig. 4

40/09 serce, patrz też 39/09

Analiza ultrastrukturalna wykazała częściowo zachowany układ sarkomerów, obserwowano jednak zaburzenia w przebiegu miofibryli oraz ich dezorganizację, a miejscami znaczny ubytek. Widoczne były nieprawidłowe, bardzo uszkodzone mitochondria o jasnej macierzy mitochondrialnej, wykazujące brak grzebieni. Miejscami występowały złogi lipofuscyny (Fig.1,2). W przestrzeni zewnątrzkomórkowej obficie występowała tkanka łączna. Śródbłonek niektórych naczyń kapilarnych wykazywał cechy nekrozy (Fig.3,4).

Ultrastructural analysis revealed partially preserved sarcomere pattern, but changes in the course of myofibrils, their disorganization and focally, complete loss were seen at the same time. Abnormal, damaged mitochondria characterized by bright mitochondrial matrix and lack of cristae were visible. Focally, lipofuscin deposits were present (Figs.1,2). Fibrous connective tissue was abundant in the extracellular space. The endothelium of some capillaries showed features of necrosis (Figs.3,4).